

Spin-1 particle and the ATLAS Diboson excess

Tomohiro Abe (KEK)

based on the works

1507.01185: TA, Ryo Nagai, Shohei Okawa, Masaharu Tanabashi

1507.01681: TA, Teppei Kitahara, Mihoko Nojiri

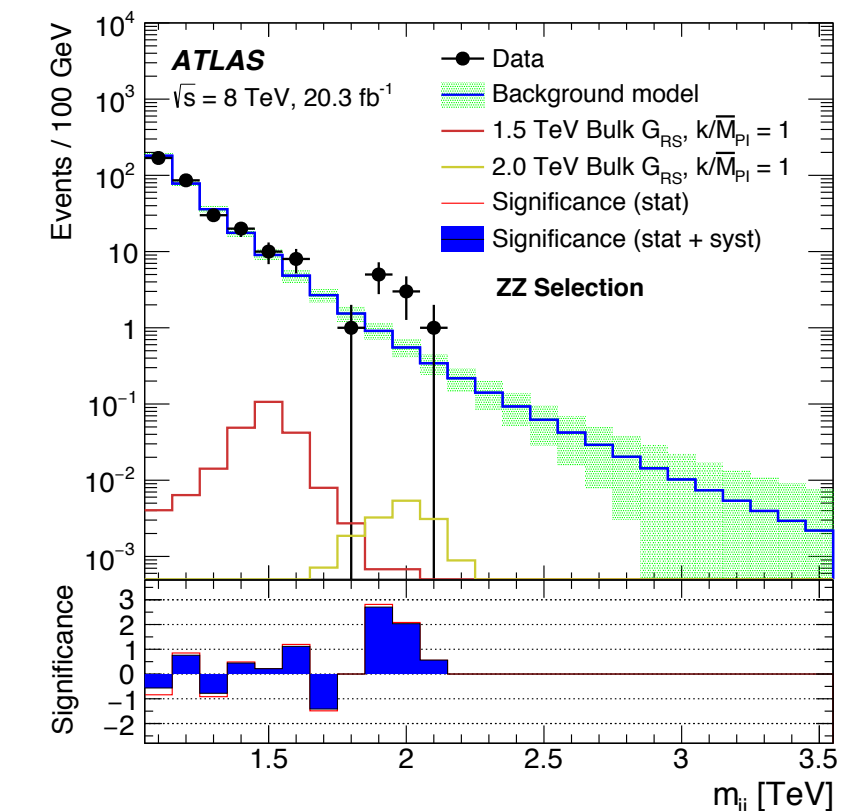
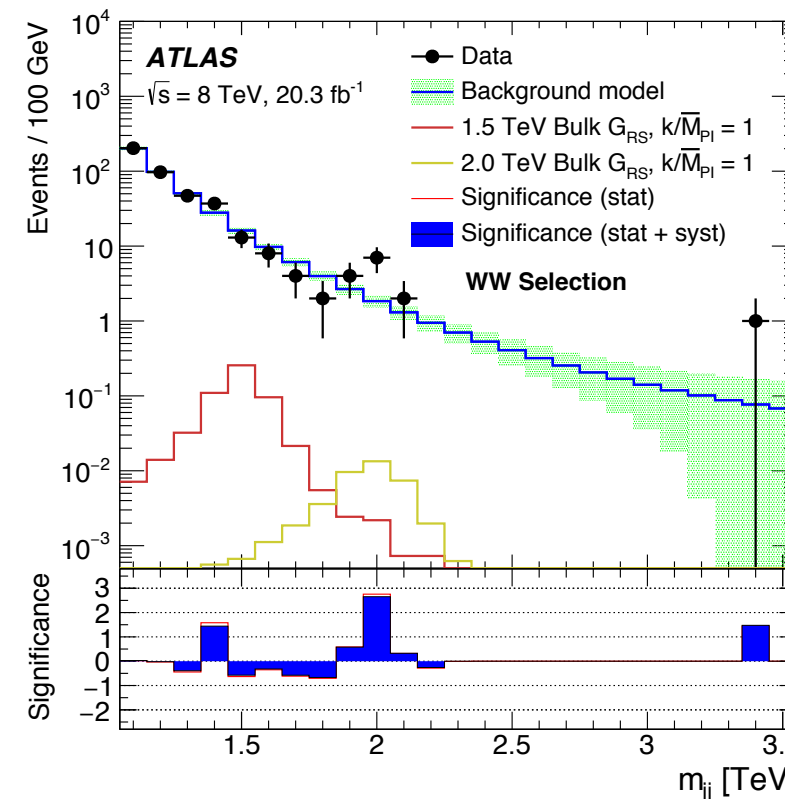
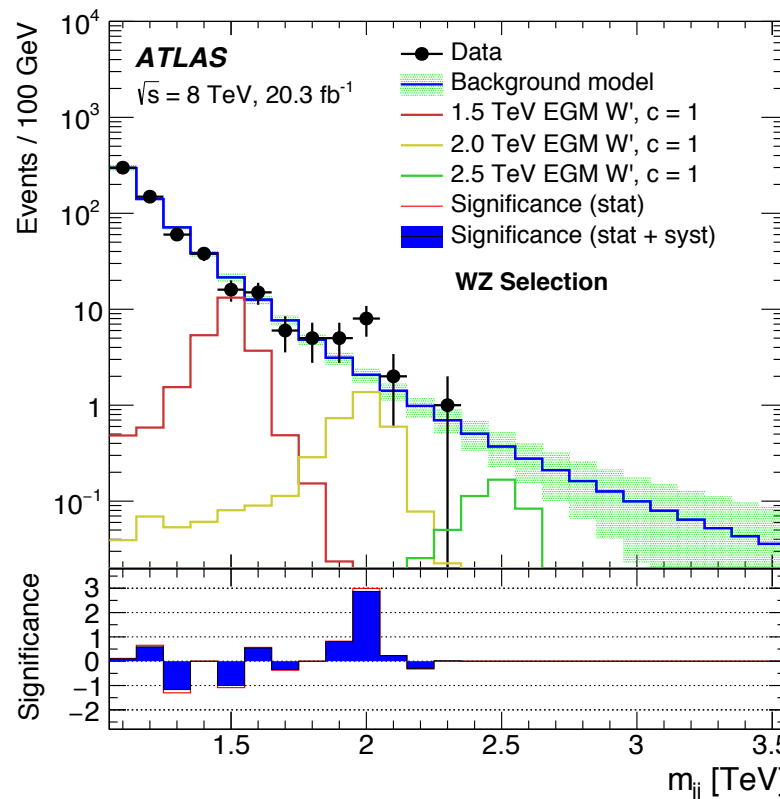
基础研究会 PPP2015
2015.9.15

今日話したいこと

- **ATLAS diboson anomaly**
- **spin1 粒子を導入した模型**
 - ★ 電弱対称性は $SU(2) \times SU(2) \times U(1)$
 - ★ くりこみ可能
 - ★ ATLAS diboson anomaly を説明可能
- **LHC 13 TeV における W' 探索の見通し**
 - ★ $pp \rightarrow W' \rightarrow WZ \rightarrow \text{jets}$
- **まとめ**

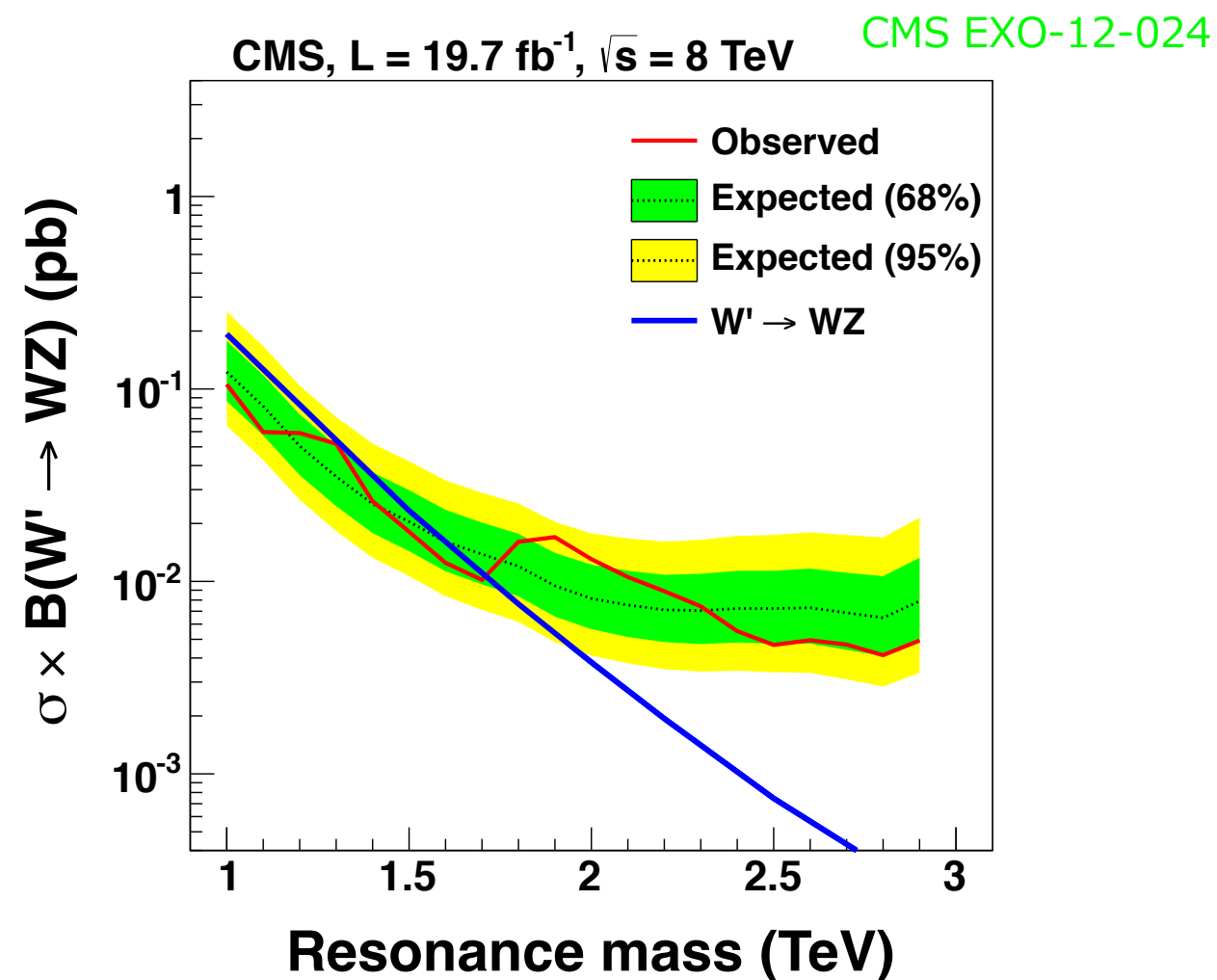
ATLAS diboson excess

ATLAS EXOT-2013-008



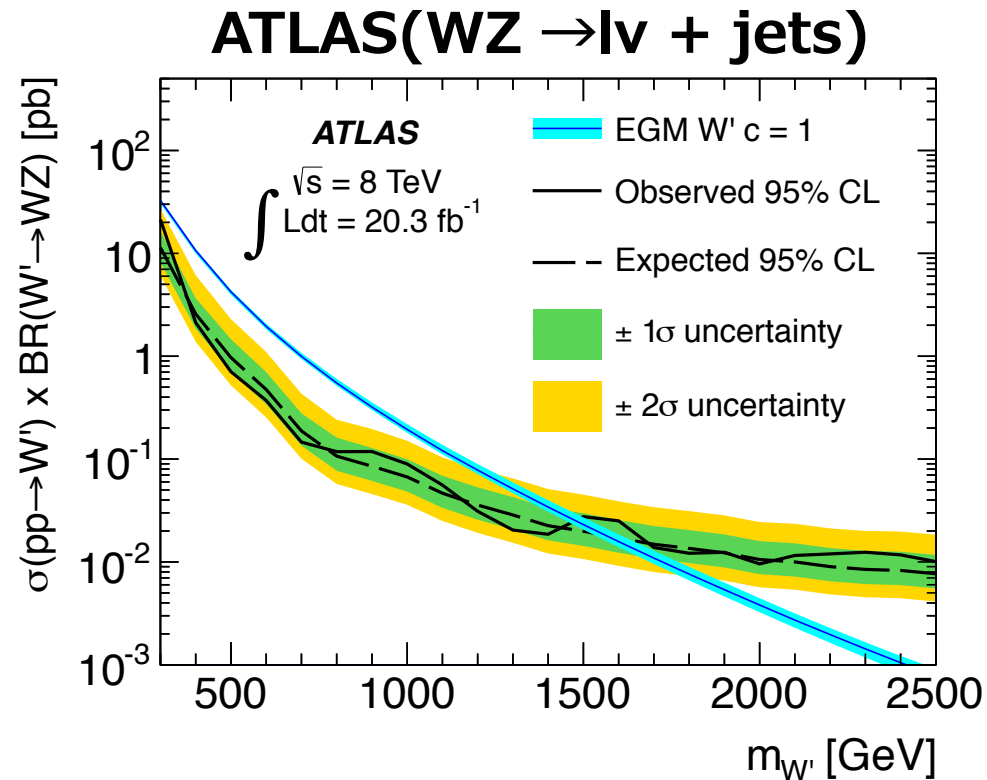
- $\text{pp} \rightarrow X \rightarrow \text{WZ/WW/ZZ} \rightarrow \text{two fat jets}$
 - ★ mass of $X \sim 2\text{TeV}$?
 - ★ local significance: WZ 3.4σ , WW 2.6σ , ZZ 2.9σ
 - ★ global significance: WZ 2.5σ

CMS の同じプロセスには excess 無し

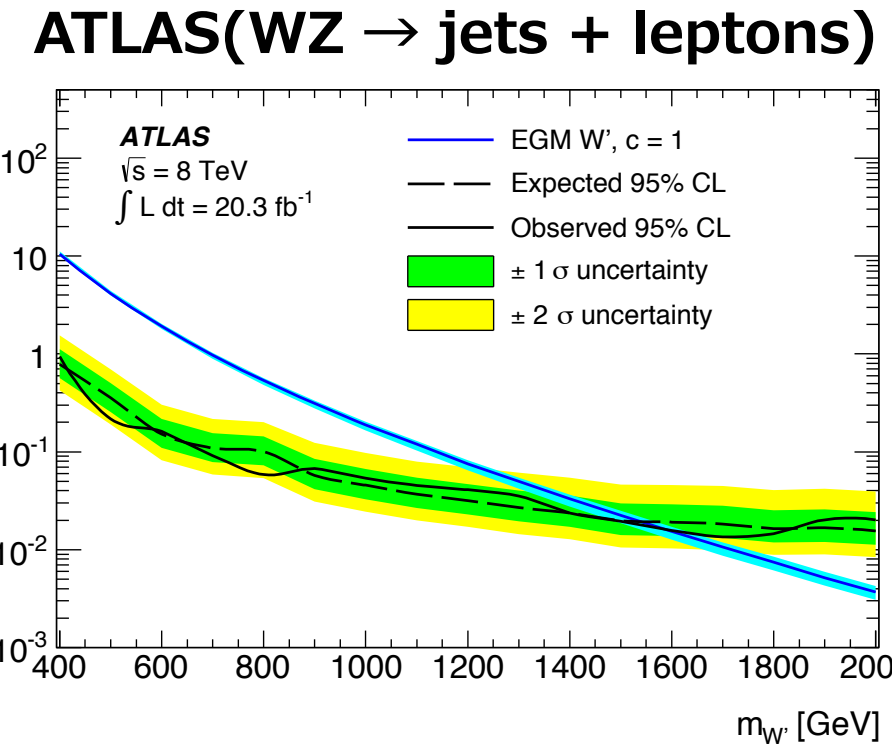


lepton を含む崩壊モードに excess 無し

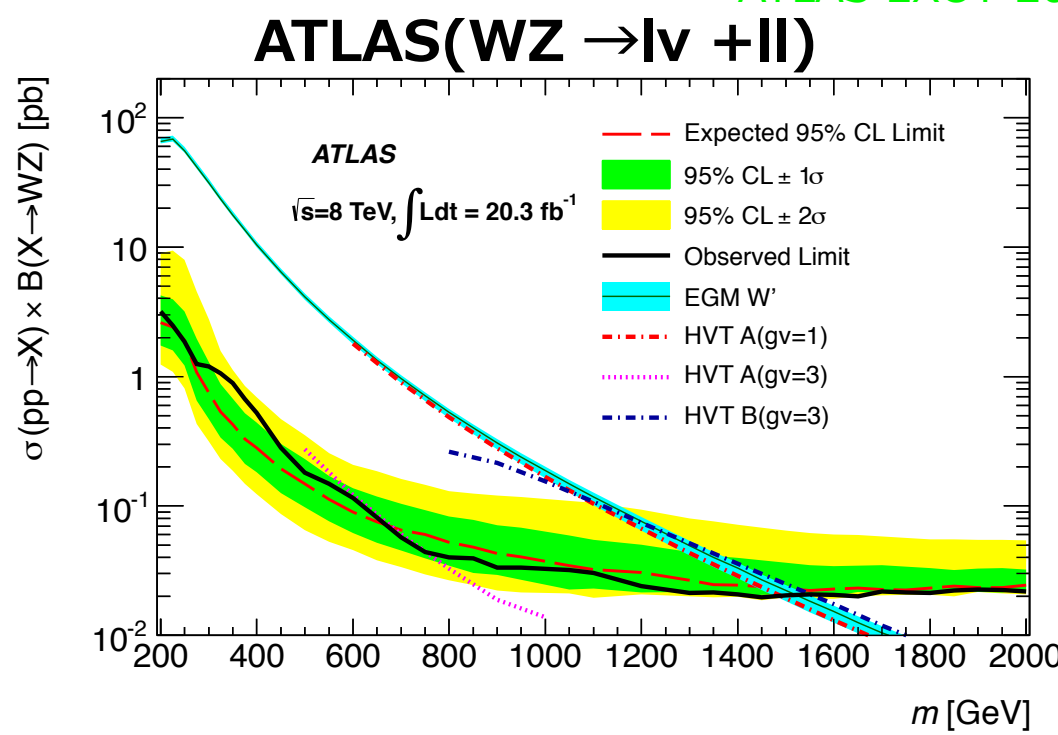
ATLAS EXOT-2013-001



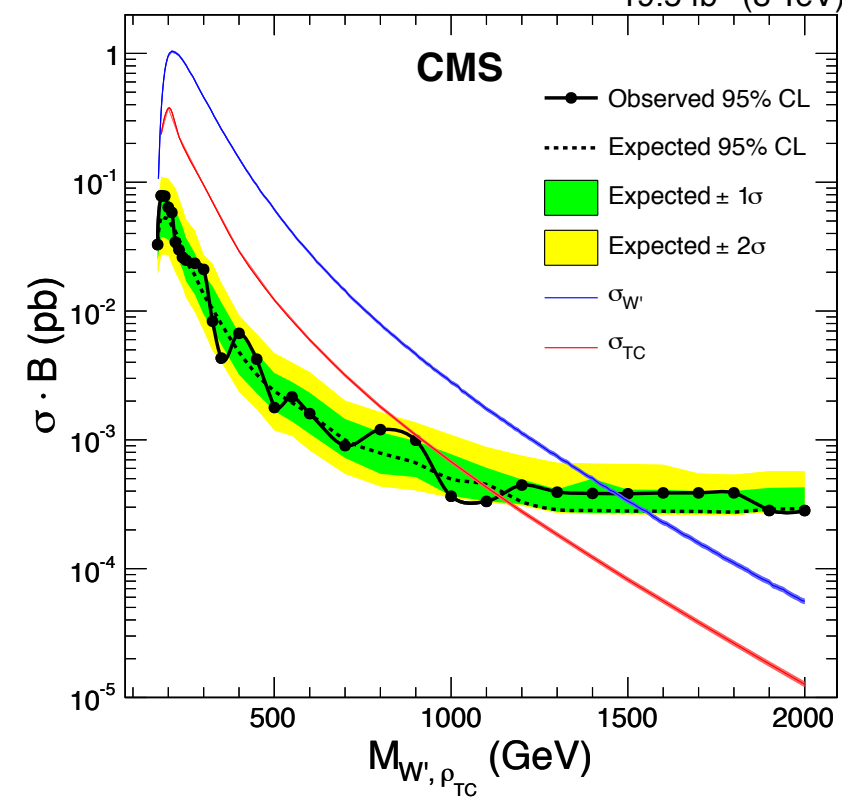
ATLAS EXOT-2013-006



ATLAS EXOT-2013-007



CMS(WZ → lν + II) CMS EXO-12-025
 $19.5 \text{ fb}^{-1} (8 \text{ TeV})$



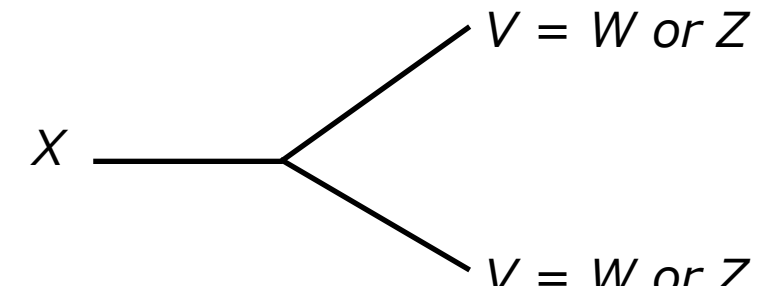
diboson の各崩壊過程のまとめ

final states	ATLAS	CMS
$VV \rightarrow \text{jets}$	excess	no excess
$WZ \rightarrow \ell v$ $WZ \rightarrow \text{jets} + \ell \ell$ $WZ \rightarrow \ell v +$	no excess	no excess

- Excess は ATLAS の $pp \rightarrow VV \rightarrow \text{jets}$ 過程にのみ存在
 - ★ local: WZ 3.4σ , WW 2.6σ , ZZ 2.9σ
 - ★ global: WZ 2.5σ
- Excess は単なる統計の揺らぎ？
- どんな模型でexcessが説明可能か抑えておくことは重要

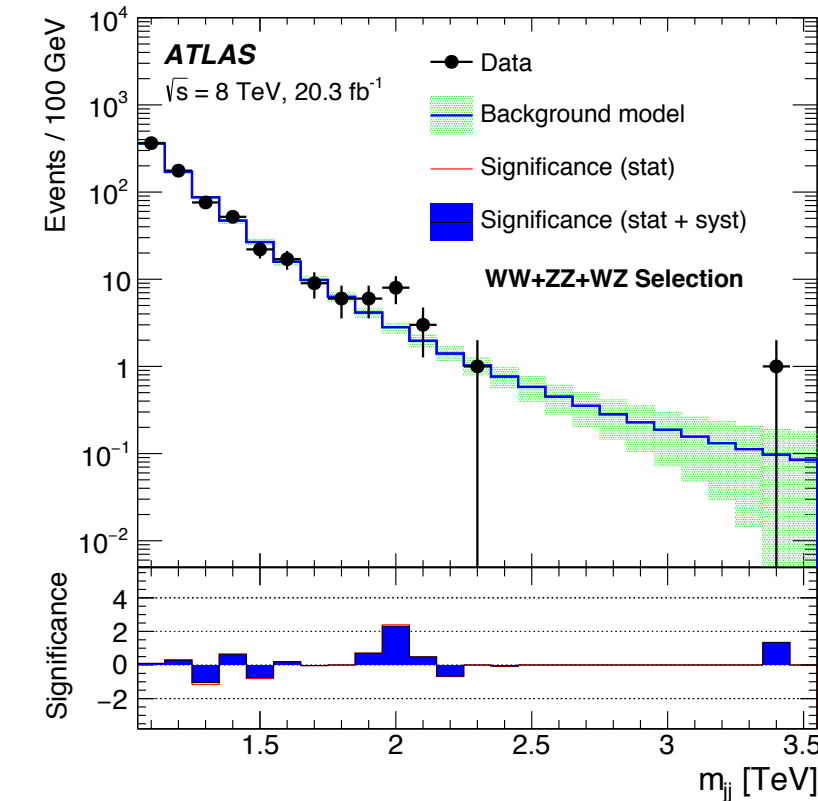
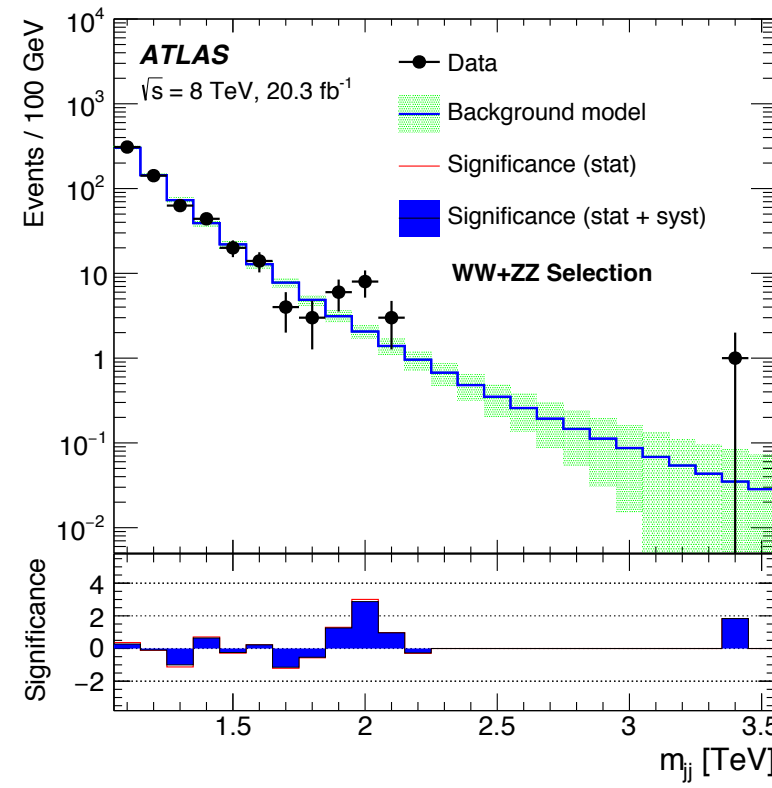
Excessについてわかっていること

- 新粒子 (X) は ボソン
 - ★ $WZ/WW/ZZ$ へ崩壊する



- $WZ/WW/ZZ$ の区別はきちんとついていない
 - ★ $|m_j - m_V| < 13\text{GeV}$
 - ★ 3つのチャンネル全てを説明する必要は無い

ATLAS EXOT-2013-008



Works in market (~50 papers)

- **Spin 0 ($S \rightarrow WW$, $S \rightarrow ZZ$)**

1507.02483, 1507.03553, 1507.04431, 1507.05028, 1507.05310, 1507.06312, 1508.04814, 1508.05632,
1509.02039

- **Spin 1 ($W' \rightarrow WZ$, $Z' \rightarrow WW$)**

1506.03751, 1506.03931, 1506.04392, 1506.05994, 1506.06064, 1506.06736, 1506.06767, 1506.07511,
1506.08688, 1507.00013, 1507.00268, 1507.00900, 1507.01185, 1507.01638, 1507.01681, 1507.01914,
1507.01914, 1507.01923, 1507.02483, 1507.03098, 1507.03428, 1507.03553, 1507.03940, 1507.04431,
1507.05028, 1507.05299, 1507.05310, 1507.06018, 1507.06312, 1507.07102, 1507.07406, 1507.07557,
1507.08273, 1508.00174, 1508.02277, 1508.03544, 1508.04129, 1508.05940, 1509.00441, 1509.01606,
1509.02787

- **Spin 2**

1507.03553, 1507.06312, 1508.04814

spin 別の特徴

- **Spin 0 ($S \rightarrow WW, S \rightarrow ZZ$)**

- ★ 素朴には断面積が足りない
- ★ 適当な模型だとうまくいかない (例えば $K0-K0\bar{b}ar$ とかにひっかかる [Omura,Tobe,Tsumura '15])
- ★ うまくいく1例は、次の次にトークする福田さんらの仕事 [1507.02483]

- **Spin 1 ($W' \rightarrow WZ, Z' \rightarrow WW$)**

- ★ 電弱対称性を拡張すれば簡単にできる (例: $SU(2) \times SU(2) \times U(1)$)
- ★ 模型はたくさん作れる (choice of Higgs and fermion sectors)
 - * 背後にダイナミクスがある模型 (1例は松崎さんのトーク)
 - * Left-Right 模型
 - * その他

- **Spin 2**

- ★ 複合粒子? 余剰次元?

spin 別の特徴 (私見)

- Spin 0 ($S \rightarrow WW, S \rightarrow ZZ$)

- ★ 素朴には断面積が足りない
- ★ 適当な模型だとうまくいかない (例えば $K_0-K_0\bar{b}ar$ とかにひつかかる)
- ★ うまくいく1例は、福田さんトークでどうぞ

spin 1 に着目します

- Spin 1 ($W' \rightarrow WZ, Z' \rightarrow WW$)

- ★ 電弱対称性を拡張すれば簡単にできる (例: $SU(2) \times SU(2) \times U(1)$)
- ★ 模型はたくさん作れる (choice of Higgs and fermion sectors)
 - * 背後にダイナミクスがある模型 (1例は松崎さんのトーク)
 - * Left-Right 模型
 - * その他

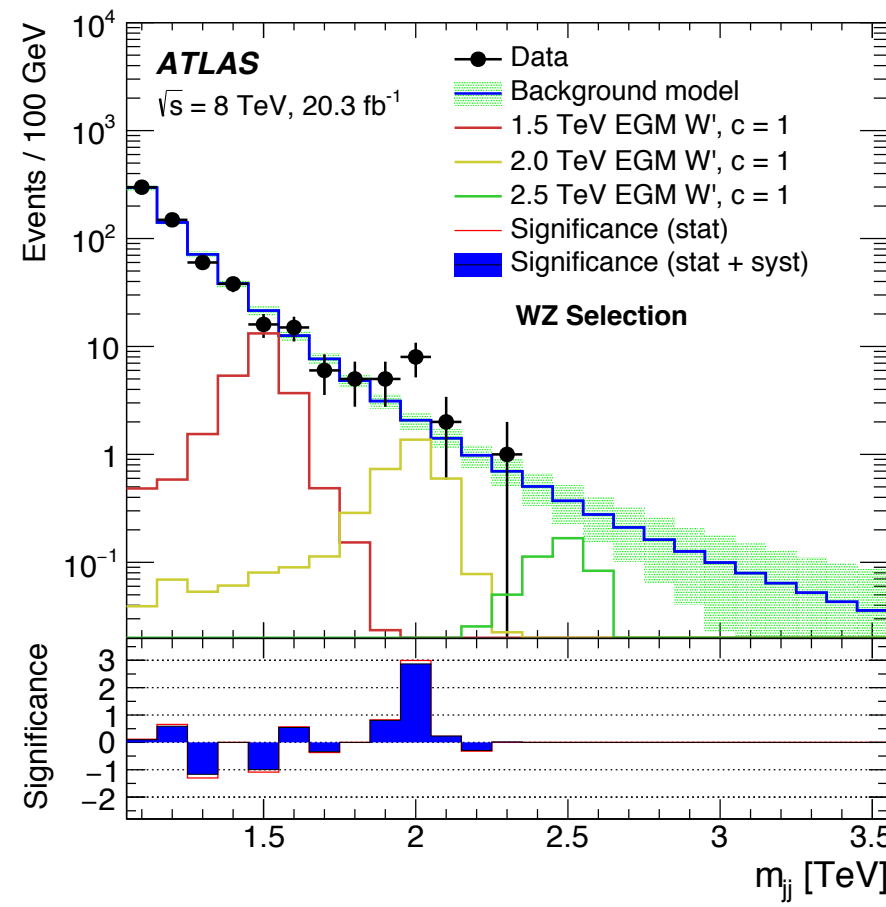
- Spin 2

- ★ 複合粒子? 余剰次元?

$\sigma(pp \rightarrow W'/Z' \rightarrow WZ/WW)$ の見積もり

- **excess の説明に必要な断面積は？**
- ATLASからの **official** な値は無い
- **W'/Z'を用いた論文は数十本あるが、論文によって excess に必要とされる断面積の値は違う**
 - ★ 20 fb
 - ★ 15 fb
 - ★ 10 fb
 - ★ 6 fb
- **断面積をどう見積もるかによって答えは大きく変わる σ**
 - ★ 統計が足りていないのが原因と考えられる
 - ★ とりあえず 3例あげます

$\sigma(pp \rightarrow W'/Z' \rightarrow WZ/WW)$ の見積もり



BGをさっぴく

→

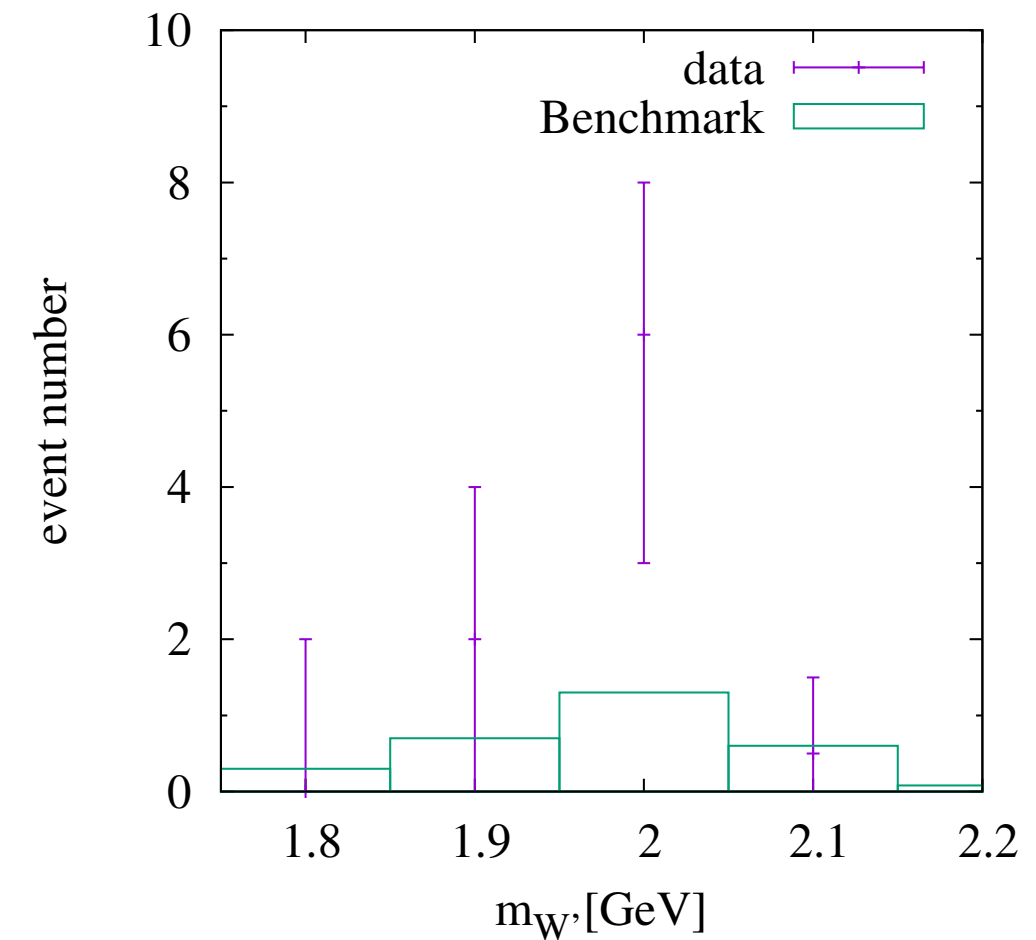
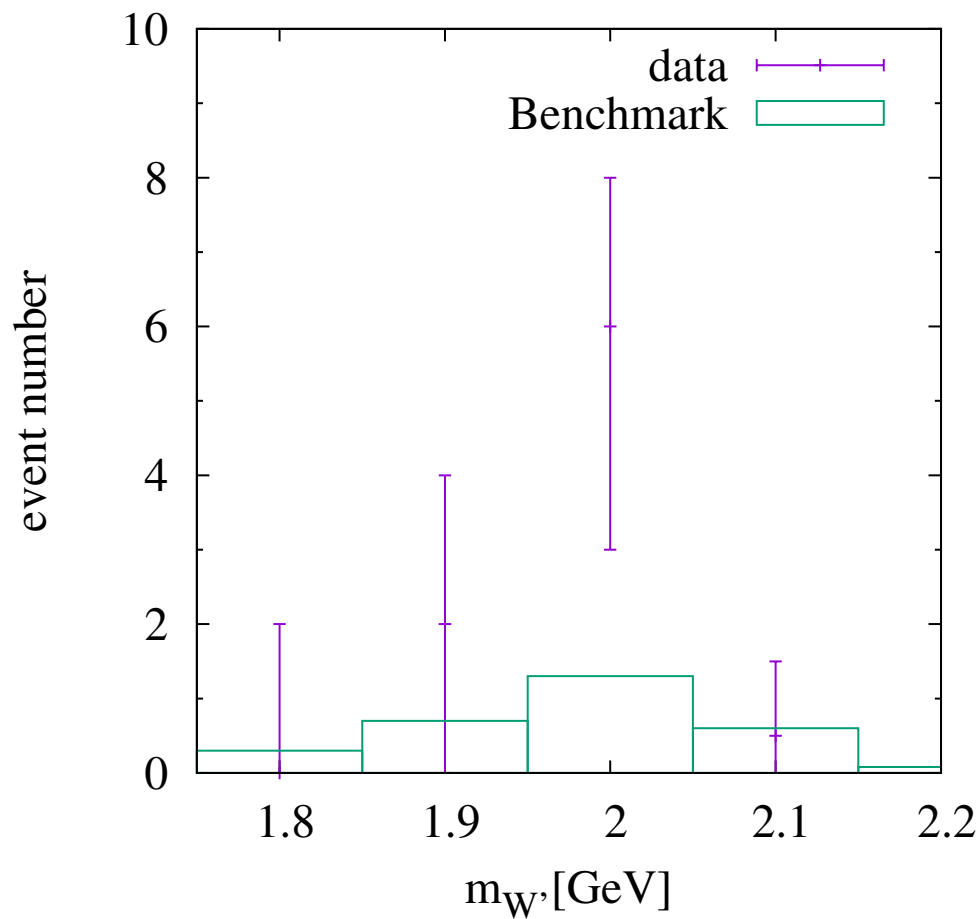


Fig. from ATLAS EXOT-2013-008

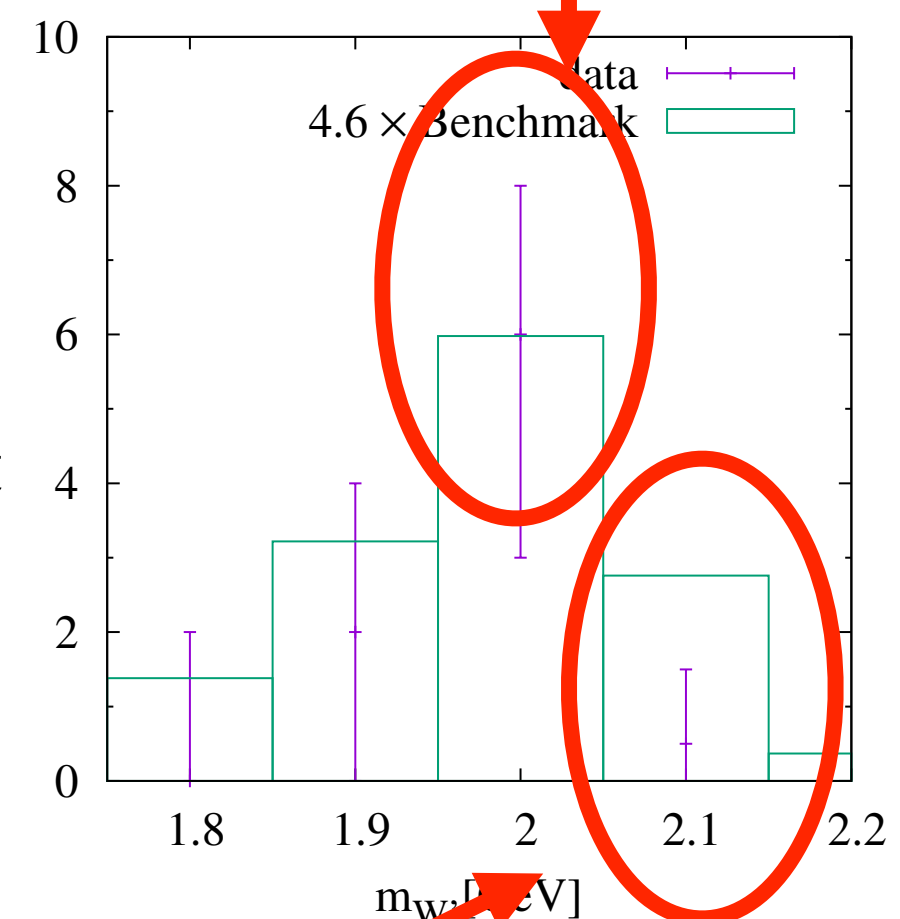
estimate(I) 2TeV bin だけ



2TeV の bin だけみると

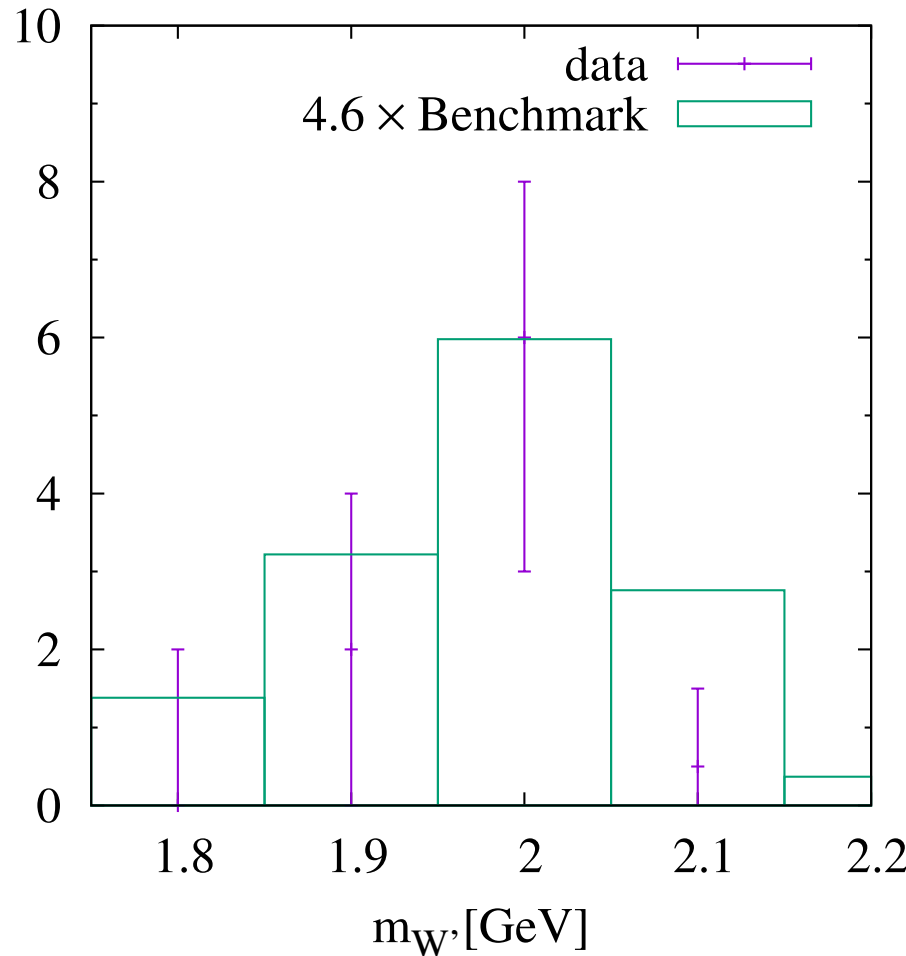
excess説明に必要な断面積
 $3\text{fb} \times 4.6 = \mathbf{14\ fb}$

ピッタリ合わず必要も無い

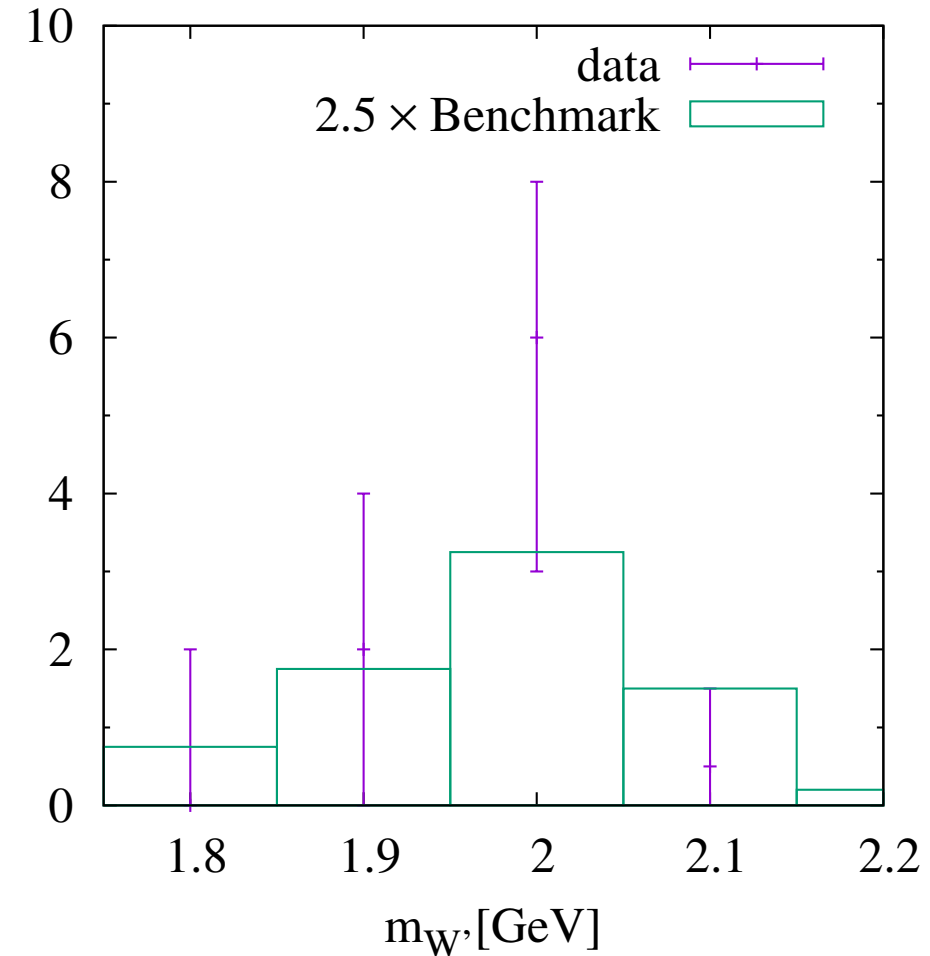


あまり合ってないように見える…

estimate(2) 全部 error bar に入るようにしてみる



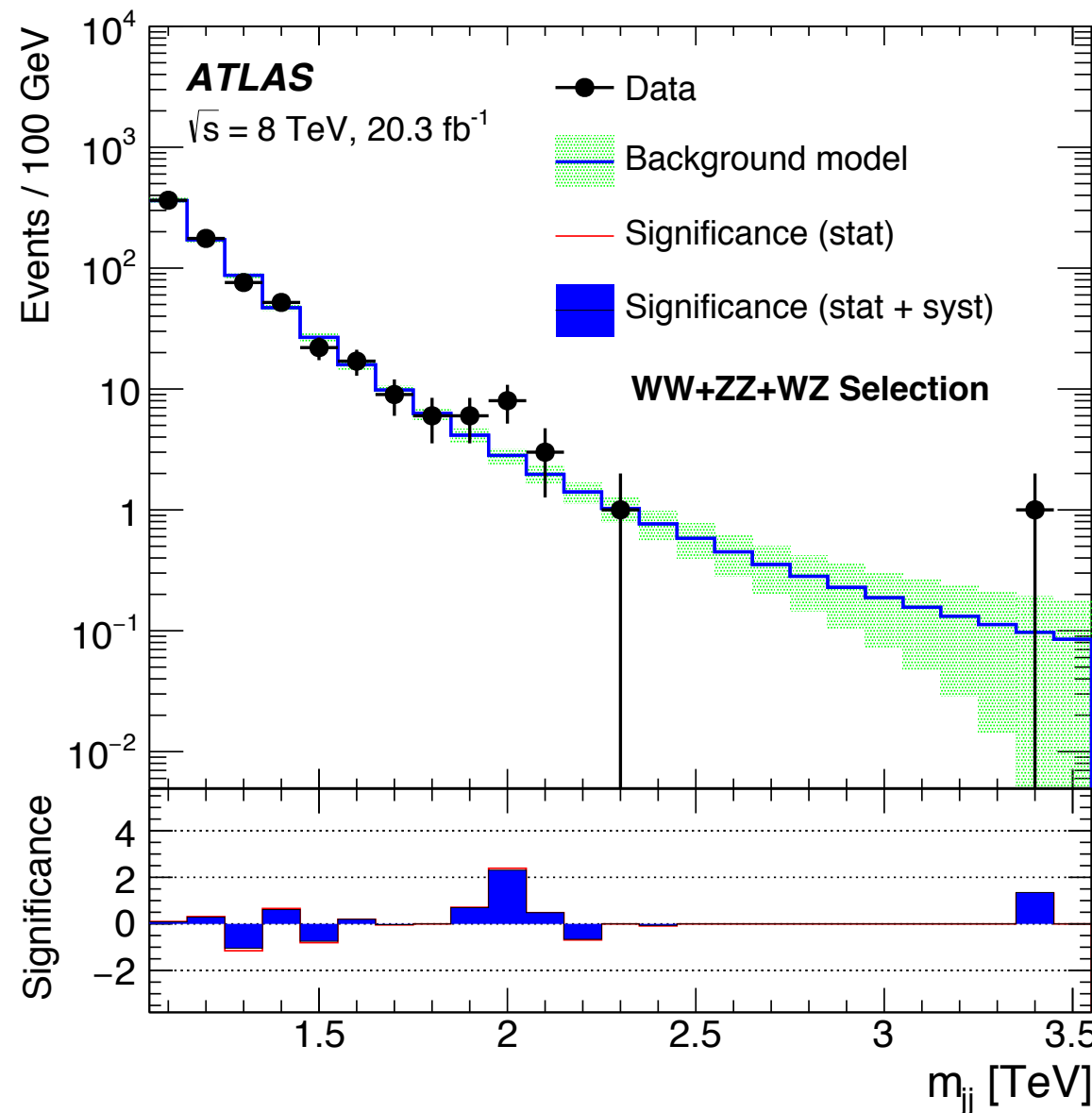
2TeV bin だけ見た場合：
excess説明に必要な断面積
 $3\text{fb} \times 4.6 = \mathbf{14\ fb}$



error bar に入れた場合:
excess説明に必要な断面積
 $3\text{fb} \times 2.5 = \mathbf{7.5\ fb}$

←→
だいぶ違う

estimate(3) event 数だけ数える



- **WW+WZ+ZZ selection**
 - ★ 2 events at 1.9 TeV bin
 - ★ 5 events at 2.0 TeV bin
 - ★ 1 event at 2.1 TeV bin
 - ★ # of excess event = 8
 - ★ # = $\sigma \times \text{Luminosity} \times \text{efficiency}$
 - ★ $\sigma(pp \rightarrow W' \rightarrow WZ) + \sigma(pp \rightarrow Z' \rightarrow WW) \sim 6 \text{ fb}$

Fig. from ATLAS EXOT-2013-008

$\sigma(pp \rightarrow W'/Z' \rightarrow WZ/WW)$ の見積もり

- ATLASからの official な値は無い
- どう見積もるかによって答えは大きく変わる
 - ★ 10 fb 程度あればいいだろう
 - ★ 最低でも 6 fb は欲しい
- ところで $\sigma(pp \rightarrow V' \rightarrow Vh) < 7\text{fb}$ [CMS EXO-14-009]
 - ★ 摂動論的ユニタリティーを満たす模型では
$$\sigma(pp \rightarrow V' \rightarrow VZ) \sim \sigma(pp \rightarrow V' \rightarrow Vh)$$
となるので、この制限はきつい
- (私見) 6fb を目指して、それ以上は新しい実験結果が出てから考えれば良い

残りの時間で話したいこと

- **spin 1 模型を1つとりあげます**
 - ★ くりこみ可能で摂動論の範囲内で取り扱える模型のうち**最も簡素な模型**
 - ★ (非摂動論的な模型は、次のスピーカーの松崎さん)
 - ★ (模型によらない性質は、明日のポスター発表で長井さん)
- **pp $\rightarrow W' \rightarrow WZ \rightarrow \text{jets}$ モードの LHC run-2 での展望**
 - ★ 7fb-1 くらいで W'/Z' 模型は排除可能

model

模型セットアップ

TA and Kitano '13

- $SU(2)_0 \times SU(2)_1 \times U(1)_2 \rightarrow U(1)_{QED}$

- three Higgs doublets

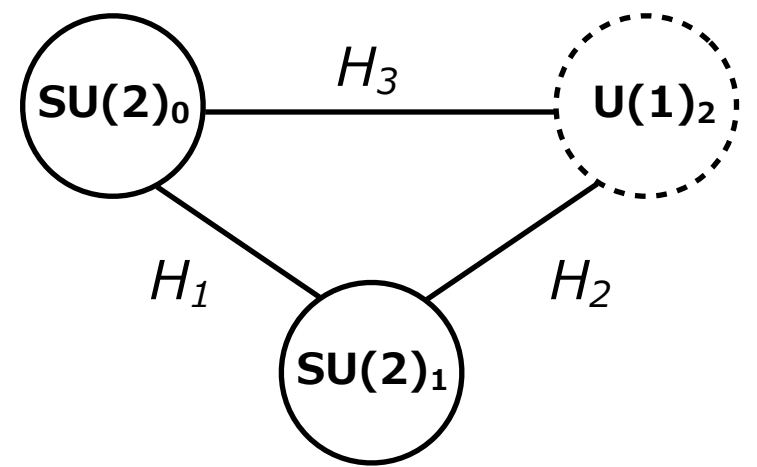
- ★ $H_1 : SU(2)_0 \times SU(2)_1 \rightarrow SU(2)_v$
- ★ $H_2 : SU(2)_1 \times U(1)_2 \rightarrow U(1)_v$
- ★ $H_3 : SU(2)_0 \times U(1)_2 \rightarrow U(1)_v$

- ★ 12個の実スカラー (6つはゲージ場に食われる)
- ★ 結果、物理的自由度は6つ (3 CP-even + 1 CP-odd + 1 pair of charged Higgs)

- フェルミオン

- ★ $\psi_L : (SU(2)_0, SU(2)_1, U(1)_2) = (2, 1, 1/6) \text{ or } (2, 1, -1/2)$
- ★ $\psi_R : (SU(2)_0, SU(2)_1, U(1)_2) = (1, 1, Q_{QED})$
- ★ 湯川相互作用は H_3 で与えられる

schematic picture (moose notation)

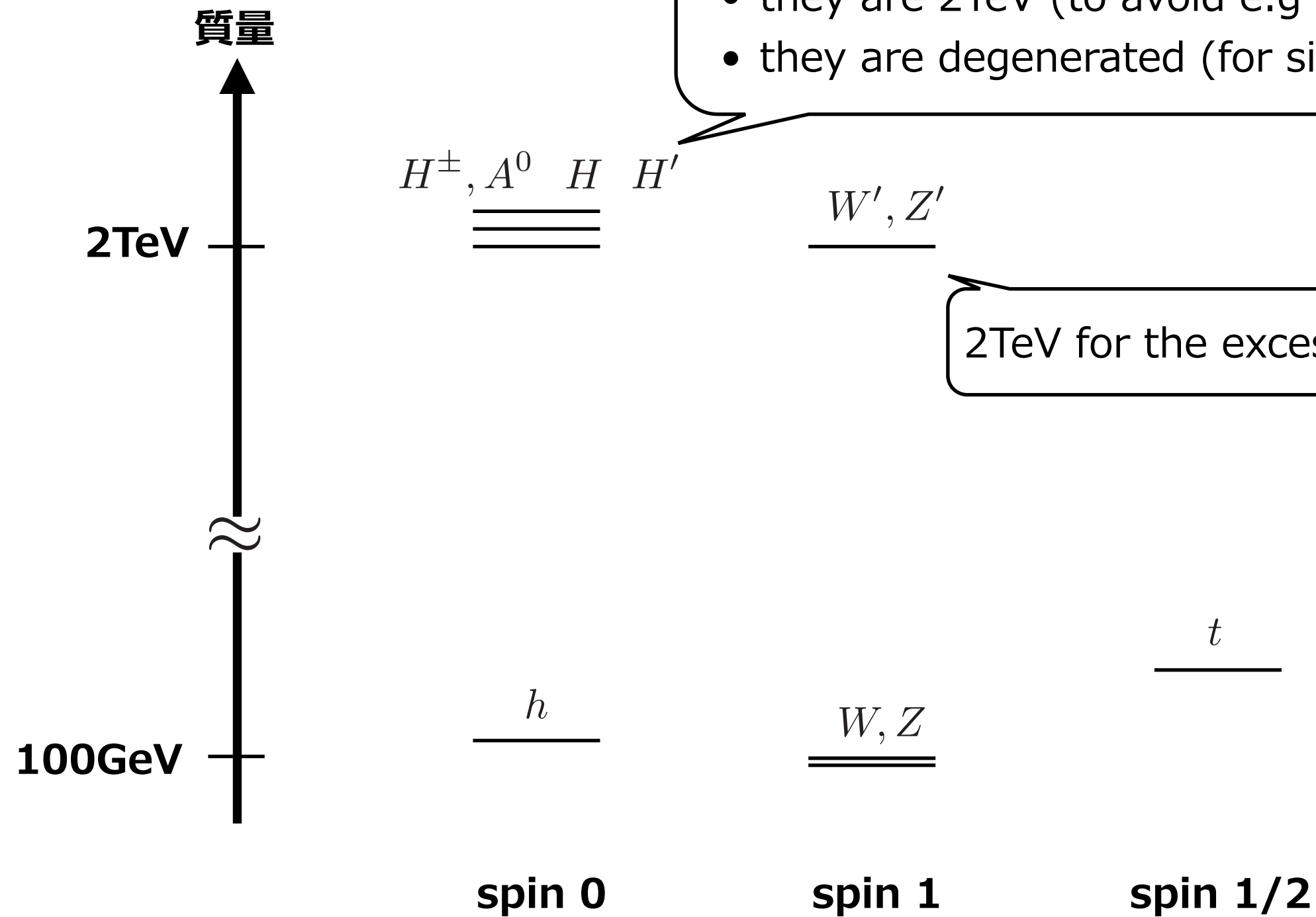


$$\mathcal{L}^{\text{Yukawa}} = -\bar{Q}^i H_3 \begin{pmatrix} y_u^{ij} & 0 \\ 0 & y_d^{ij} \end{pmatrix} \begin{pmatrix} u_R^j \\ d_R^j \end{pmatrix} + (\text{h.c.}) + (\text{lepton sector})$$

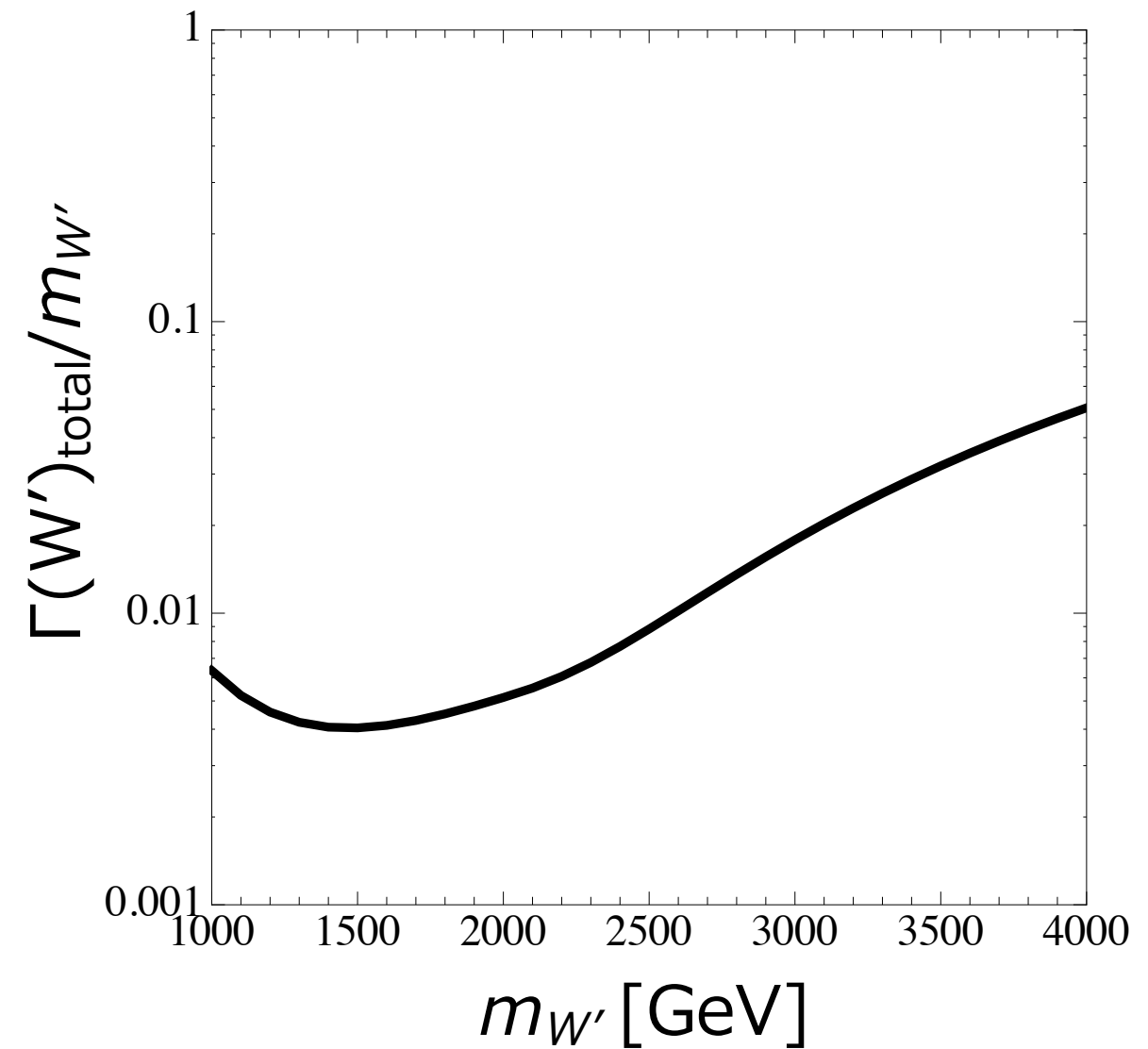
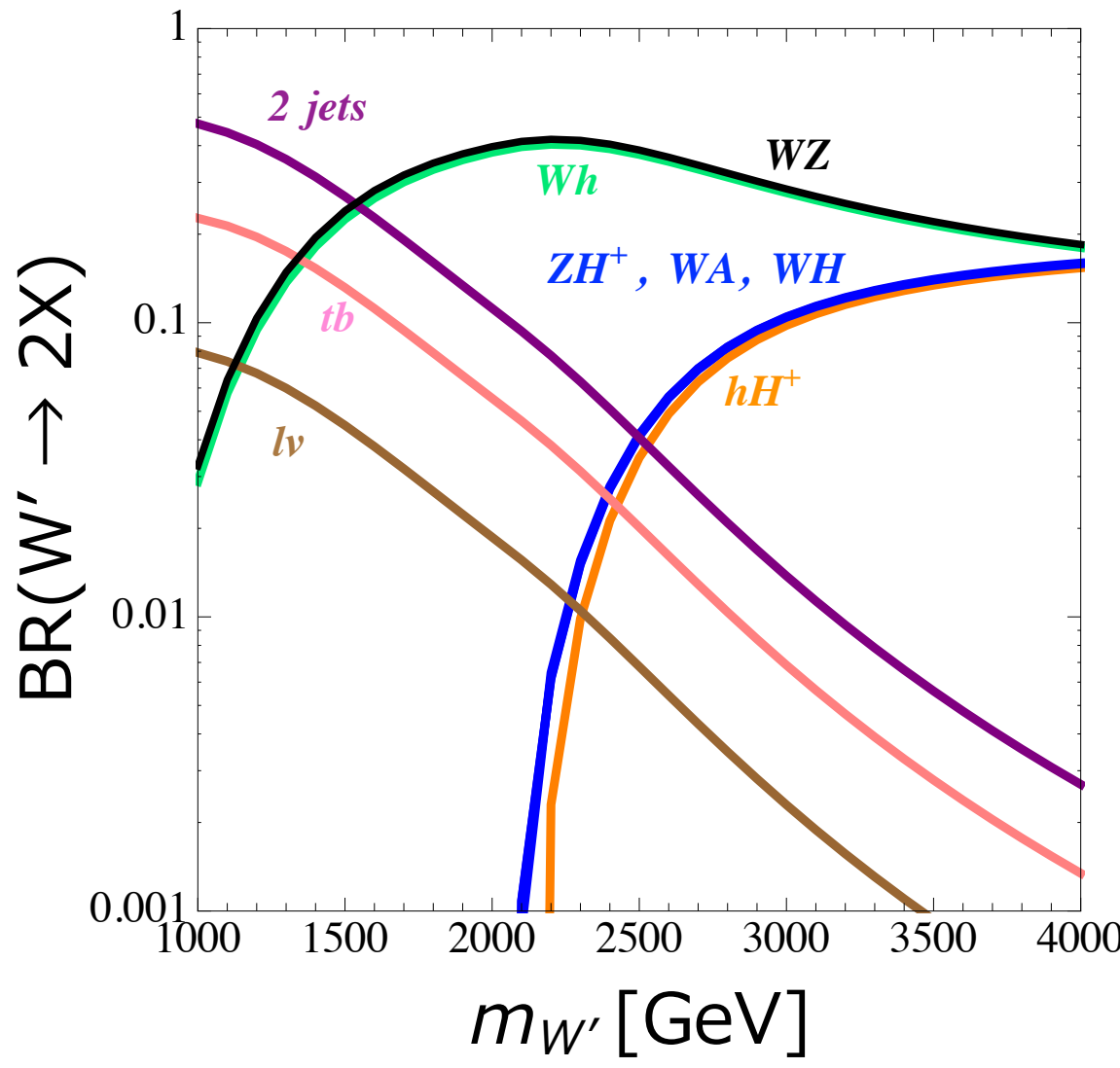
模型のパラメータ

- 13 パラメータ
 - ★ 既知のパラメータ4つ: $v, \alpha, m_Z, m_h,$
 - ★ 未知のパラメータ4つ: $m_{Z'}, m_{H'}, m_H, m_A,$
 - ★ カップリング3つ: $\kappa_F, \kappa_Z, g_{WW'H'}$ ($\kappa_F = g_{hff}/g_{hff}^{SM}, \kappa_Z = g_{hzz}/g_{hzz}^{SM}$)
 - ★ vev関連2つ: $r, v_3, (r = v_2/v_1)$
- 簡単のため以下では質量とカップリングは固定
 - ★ $m_H = m_{H'} = m_A = 2\text{TeV}$
 - ★ $\kappa_F = 1, \kappa_Z \sim 1, g_{WW'H'} = 0$
- (r, v_3) の2つをパラメータとしてふる

粒子の質量

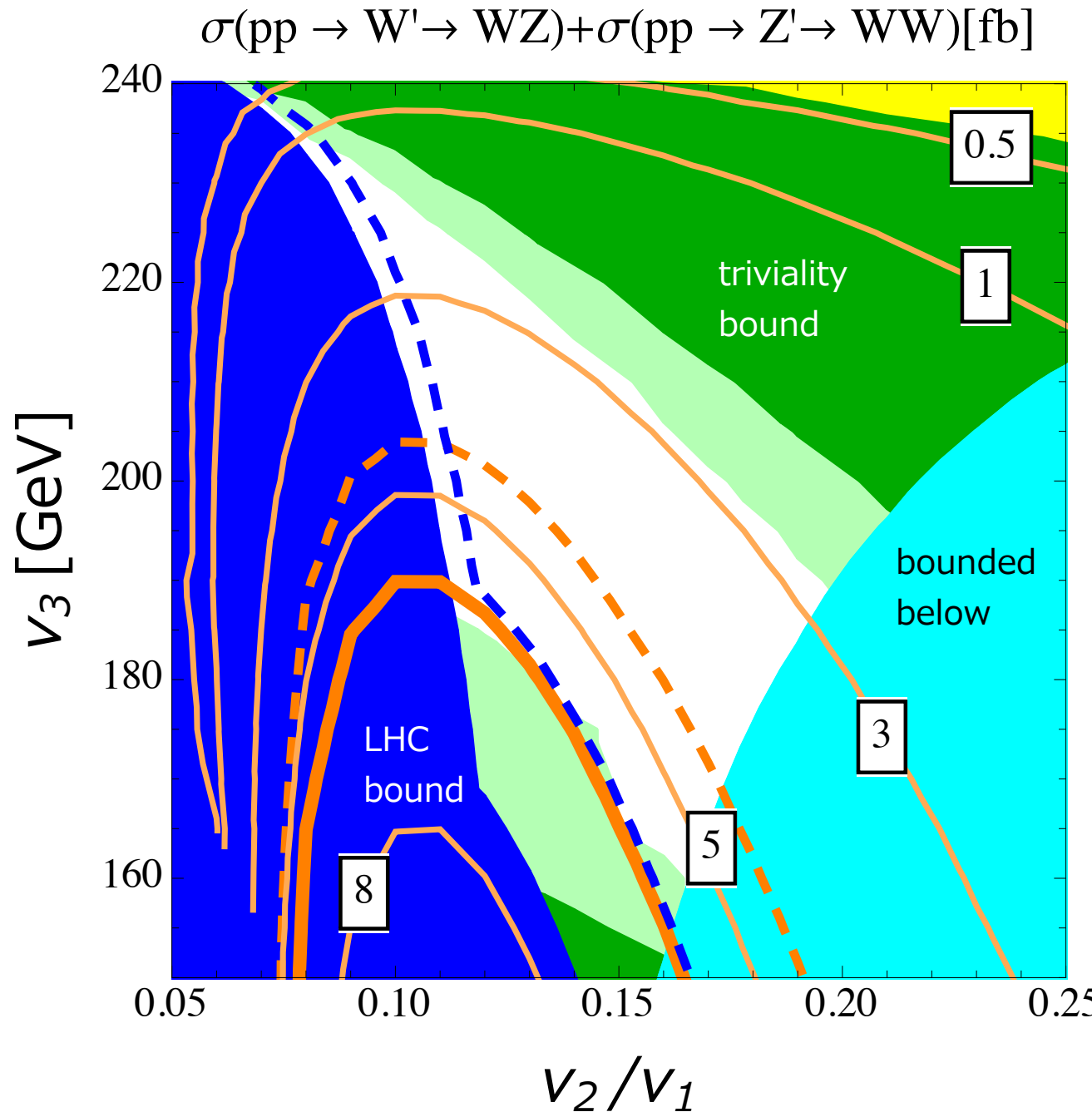


W' branching ratio and width



- ★ $m_H = m_{H'} = m_A = 2\text{TeV}$
- ★ width is narrow (20 GeV for $m_{W'} = 2\text{TeV}$)

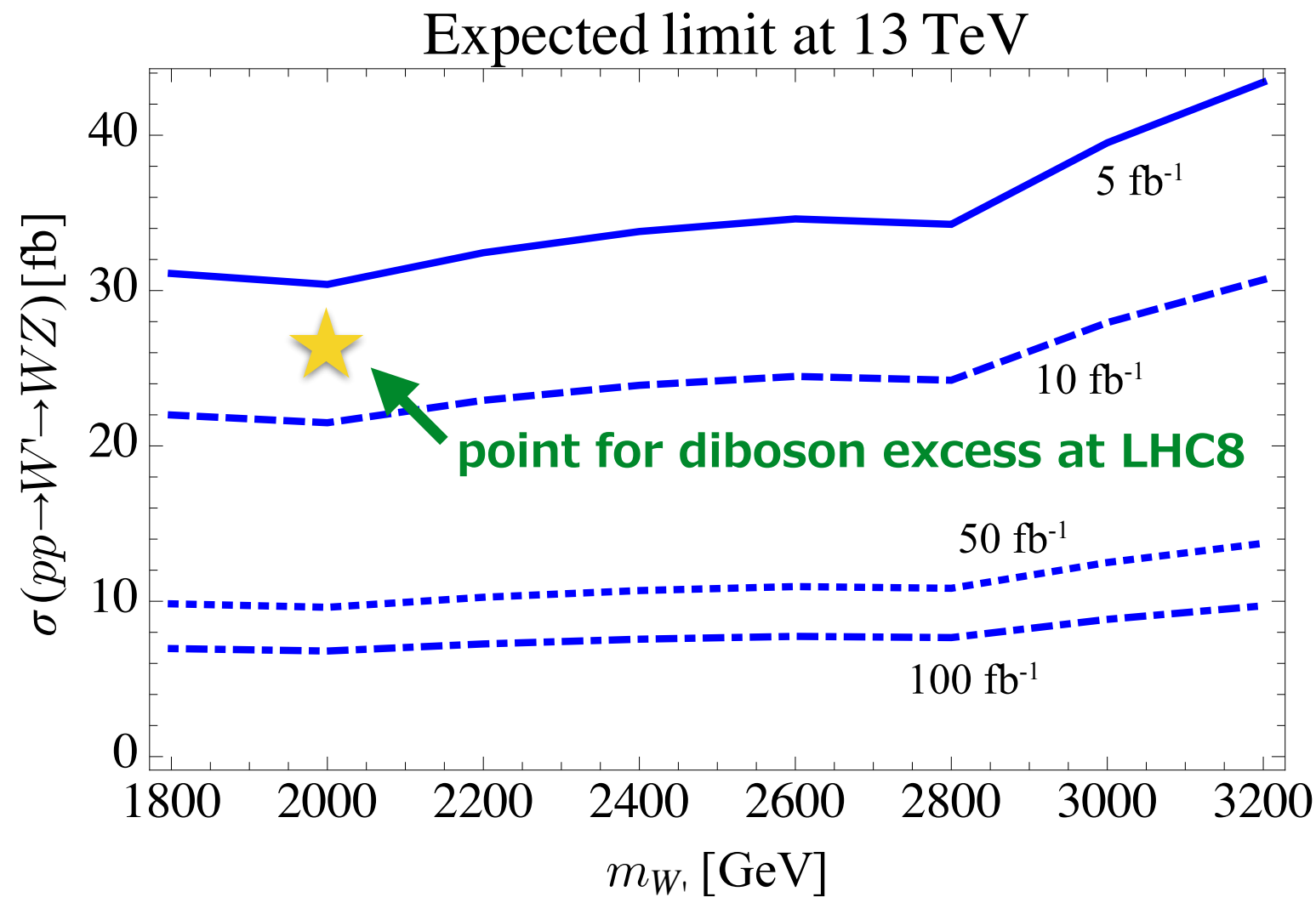
results



- ★ colored region is excluded
- ★ orange lines are σ
- ★ $\sigma > 7\text{fb}$ is exclude by $V' \rightarrow Vh$
- ★ $\sigma = 6\text{fb}$ on bold orange line
(possibly explain the excess)
- ★ dashed lines are with K-factor (K ~ 1.3) [0711.0749](#), [1410.4692](#)

prospect for LHC run-2

95% exclusion limit at LHC run-2



- ★ $WZ \rightarrow \text{hadrons}$
- ★ W' width = 25 GeV
- ★ model independent result (as long as width is narrow)

Summary

まとめ

- 2TeV 付近に diboson excess があります by the ATLAS
 - ★ CMS には excess 無し
 - ★ レプトンを含む diboson の崩壊モードには excess 無し
 - ★ nice exercise to consider BSM
- 模型を 1つ紹介した (W' and Z')
 - ★ くりこみ可能で摂動論の範囲内で取り扱える模型のうち最も簡素な模型
 - ★ $\sigma(pp \rightarrow V' \rightarrow l\nu)$ と $\sigma(pp \rightarrow V' \rightarrow Vh)$ が制限
 - ★ $\sigma(pp \rightarrow V' \rightarrow VV) = 6 \text{ fb}$ は可能
- prospect for LHC run-2
 - ★ 2TeV excess を W'/Z' で説明する可能性は、7 fb-1 で95%以上で排除できる

Backup slides

Monte Carlo part

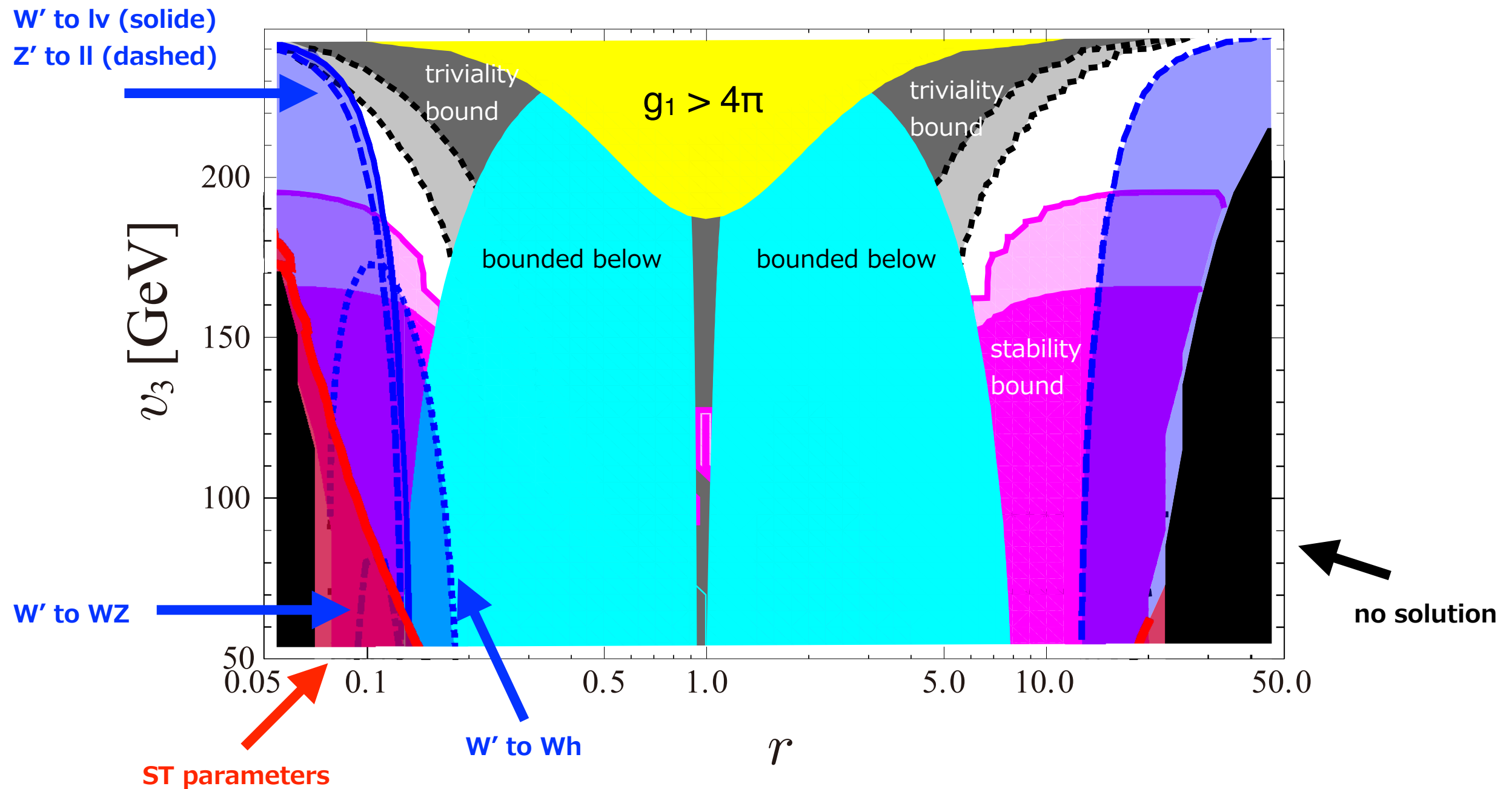
What we did in MC part

- **Monte Carlo**
 - ★ QCD dijet as BG ($1.73 \cdot 10^6 \sim 5\text{fb}^{-1}$, $E_{\text{CM}} > 1\text{TeV}$, $pT > 400\text{GeV}$, $\sqrt{s} = 13\text{TeV}$) by PYTHIA8.205
 - ★ signal ($\text{pp} \rightarrow W' \rightarrow WZ$) $m_{W'} = 1.8\text{TeV}$ to 3.2 TeV , width = 25GeV
 - ★ Tune 4C for fragmentation and hadronization
 - ★ detector simulator DeLPHESS3 is modified using FastJet3
 - ★ cuts: same as the cuts used by ATLAS
- **Our MC result**
 - ★ we checked signal distributions agree with the ATLAS result (8TeV)
 - ★ we found # of back ground is twice of the ATLAS result (8TeV)
 - ★ we scale our BG 1/2 for 13TeV analysis

More on our model

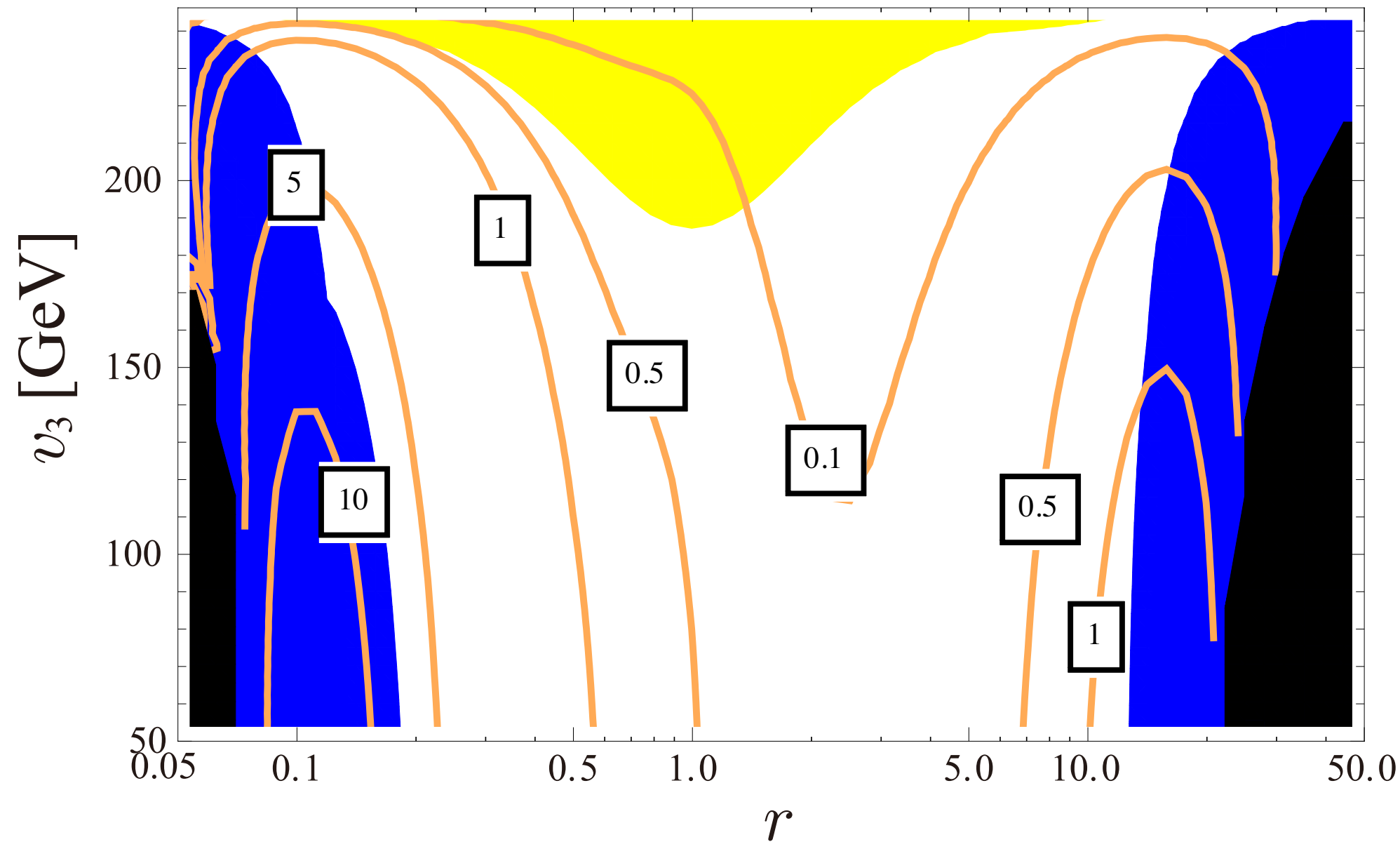
constraint on (r, v_3) -plane

$m_{Z'} = m_{\text{heavy Higgs}} = 2 \text{ TeV}, \kappa_F = 1.00$



$\sigma(pp \rightarrow W' \rightarrow WZ) + \sigma(pp \rightarrow Z' \rightarrow WW)$ [fb]

$m_{Z'} = m_{heavy\ Higgs} = 2$ TeV, $\kappa_F = 1.00$



★ $\sigma > 5\text{fb}$ for small r region